

## Спектры отражения аналогов приповерхностных минералов термальных полей – аммонийных и кислых сульфатов

*А.В. Сергеева, Д.В. Мельников, М.А. Назарова*

*Институт вулканологии и сейсмологии ДВО РАН, Петропавловск-Камчатский, 683006; e-mail: [anastavalers@gmail.com](mailto:anastavalers@gmail.com)*

В работе исследуются спектры отражения в ближней ИК области ряда солей, в том числе тех, минеральные аналоги которых встречаются на термальных полях Камчатки. Записаны спектры сабеита, ромбоклаза, масканьита, гидросульфата аммония, летовицита, леконтита, коктaitа. Все аммонийные минералы имеют полосу около 1550-1580 нм ( $6450\text{-}6330 \text{ см}^{-1}$ ). Кислые сульфаты имеют гидросульфатную полосу около 2050 нм.

### Введение

В настоящее время развивается применение дистанционной спектроскопии при минералогическом картировании. В основном регистрируются спектры отражения в ближней ИК и видимой области. В ближней ИК области расположены обертоны и составные частоты легких фрагментов структуры кристаллов, например,  $\text{H}_2\text{O}$ ,  $\text{NH}_4^+$ ,  $\text{H}_3\text{O}^+$  и им подобные. В существующих библиотеках спектров отражения представлены многие минералы, но редкие минералы, встречающиеся в специфических обстановках термальных полей и фумарол, пока представлены слабо.

Для термальных полей Камчатки характерна аммонийная минерализация, а также кристаллизация кислых солей. Встречаются кислые сульфаты, типа ромбоклаза и летовицита, а также ряд аммонийных минералов. Поэтому целью настоящей работы было исследование спектров отражения синтетических аналогов минералов – солей аммония и кислых сульфатов.

### Материалы и методы

Список исследованных синтетических аналогов минералов приведен в Таблице. Минералы были получены путем кристаллизации из растворов, содержащих смеси солей при температуре 100 °C, сабеит был получен при нагревании железоаммиачных квасцов, а ромбоклаз – путем обработки  $\text{Fe}_2\text{O}_3$  раствором серной кислоты. Полученные смеси были проанализированы методами рентгеновской дифрактометрии, ИК спектроскопии; были записаны спектры отражения. Рентгенограммы были записаны с помощью рентгеновского дифрактометра XRD 7000 (Shimadzu), в диапазоне 6-60 ° $2\theta$ , с шагом 0.1 ° $2\theta$ , с выдержкой в точке 1 с. ИК спектры записаны с помощью инфракрасного спектрофотометра IRAffinity-1 (Shimadzu) в диапазоне волновых чисел 400-4000  $\text{cm}^{-1}$ , число сканов 100. Спектры отражения записаны с помощью спектрорадиометра FieldSpec4, в диапазоне 350-2500 нм (0.4-2.5 мкм, или 25000-4000  $\text{cm}^{-1}$ ).

### Результаты и обсуждение

Чистые соли получились в случае гидросульфата аммония, ромбоклаза и масканьита. Сабеит содержит примесь карлсонита,  $(\text{NH}_4)_5\text{Fe}^{3+}\text{O}(\text{SO}_4)_6\cdot7\text{H}_2\text{O}$ , который образуется при плавлении железоаммонийных квасцов. Сабеит с примесью карлсонита, по данным рентгеновской дифрактометрии, был плохо закристаллизован. Коктait содержит ангидрит ( $\text{CaSO}_4$ ) и масканьит ( $(\text{NH}_4)_2\text{SO}_4$ ), по всей видимости, коктait начал разлагаться по схеме:  $(\text{NH}_4)_2\text{Ca}(\text{SO}_4)_2\cdot\text{H}_2\text{O} \rightarrow (\text{NH}_4)_2(\text{SO}_4) + \text{CaSO}_4 + \text{H}_2\text{O}$ .

На спектрах отражения (рисунок) для солей аммония наблюдается сильное поглощение в области 1500-1600 нм, остальные полосы аммония менее интенсивны и расположены около 1100 и 1300 нм. Остальные полосы водных сульфатов в

рассматриваемой области принадлежат обертонам  $\text{H}_2\text{O}$ ,  $[\text{H}_3\text{O}^+(\text{H}_2\text{O})]$  и  $[\text{HO}-\text{SO}_3]$  (таблица).

Таблица. Состав синтетических солевых смесей

Название минерального аналога	Формула	Полосы на спектре отражения, нм
Ромбоклаз	$(\text{H}_5\text{O}_2)\text{Fe}^{3+}(\text{SO}_4)_2 \cdot 2\text{H}_2\text{O}$	1114, 1262, 1337, 2014
Сабеит (+ карлсонит)	$(\text{NH}_4)\text{Fe}^{3+}(\text{SO}_4)_2$	823, <b>1106, 1334, 1552</b> , 1925, 2043, 2131
Летовицит (+ масканьит)	$(\text{NH}_4)_3\text{H}(\text{SO}_4)_2$	<b>1109, 1264, 1330, 1573</b> , 2028, 2146
Масканьит	$(\text{NH}_4)_2(\text{SO}_4)$	<b>1064, 1300, 1568</b>
Коктаит (+ ангидрит, масканьит)	$(\text{NH}_4)_2\text{Ca}(\text{SO}_4)_2 \cdot \text{H}_2\text{O}$	<b>1109, 1261, 1331, 1387, 1574</b> , 1649, 2021, 2144
Гидросульфат аммония	$\text{NH}_4\text{HSO}_4$	<b>1109, 1263, 1333, 1561</b> , 2046, 2134

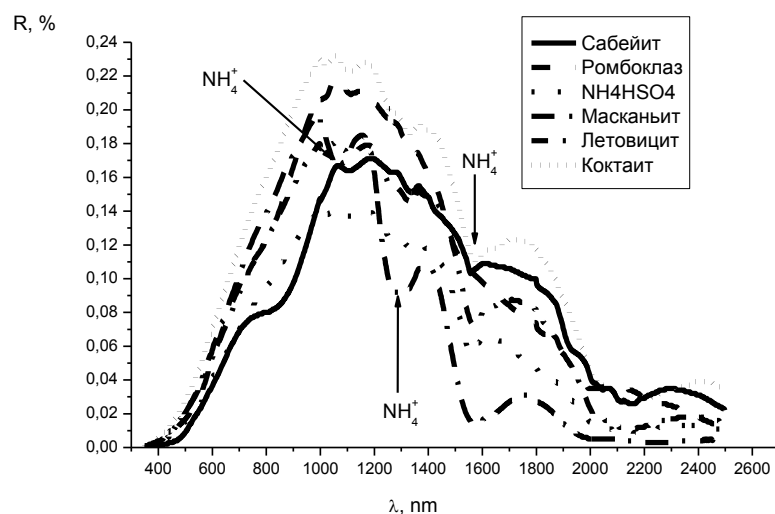


Рисунок. Зависимость доли отраженного излучения ( $R$ ) от длины волн.

В структуре ромбоклаза есть гидратированный катион гидроксония  $\text{OH}_3^+\cdots\text{OH}_2$ , с расстоянием  $d(\text{OH}_3^+\cdots\text{OH}_2) \sim 1.34 \text{ \AA}$ , в то время как расстояние  $d(\text{O}_3\text{SO}\cdots\text{H})$  от атома водорода гидроксония до атома кислорода серы порядка  $1.75 \text{ \AA}$ . Возможно, широкая полоса поглощения на спектре отражения ромбоклаза, расположенная около 2014 нм, относится к колебанию  $2v(\text{S}-\text{OH})$ , обертону валентного колебания OH-группы, координированной к сульфатной сере.

В структуре летовицита присутствует фрагмент  $\text{H}-\text{O}-\text{SO}_3$ , расстояние  $d(\text{H}-\text{O}) \sim 1.3 \text{ \AA}$ , и обертон от валентного колебания  $\text{S}-\text{OH}$  должен наблюдаться. У гидросульфата аммония расстояние  $d(\text{H}-\text{OS})$  в пределах 0.7-0.75  $\text{\AA}$  еще меньше, чем в структуре летовицита, поэтому ожидается появление обертона от валентного колебания OH-группы, координированной к сульфатной сере  $2v(\text{S}-\text{OH})$ . По-видимому, полосы на спектрах отражения от обертона валентного колебания  $2v(\text{S}-\text{OH})$  расположены около 2028 нм (летовицит) и 2046 нм ( $\text{NH}_4\text{HSO}_4$ ). Эти значения соответствуют положению  $v(\text{S}-\text{OH})$  около  $2000-2500 \text{ cm}^{-1}$  на ИК спектре, поэтому его обертон  $2v$  должен располагаться около 2000 нм.

У сабеита с примесью карлсонита наблюдаются минимумы на спектре отражения в областях, характерных для аммония, но помимо этого обнаруживается ряд слабых полос в области гидросульфатного поглощения (2000-2100 нм). Возможно, это

поглощение дает примесь карлсонита, так как в карлсоните расстояние  $d(\text{O}_3\text{SO}-\text{HOH})$  ~2.05 Å.

У коктаита, содержащего примесь масканьита и ангидрита, полосы аммония несколько маскируются масканьитом и расположены около 1109, 1331 и 1574 нм. Остальные полосы происходят от обертонов воды, координированной в решетке. Слабое поглощение при 2021 нм может свидетельствовать о незначительном переходе протона, вероятно, из воды, к сульфат-иону, и образовании гидросульфата.

Полоса около 1260 нм (~7900 см<sup>-1</sup>), наблюдающаяся на всех спектрах кристаллогидратов, принадлежит обертонам  $2\nu_1+\nu_2$ ,  $2\nu_3+\nu_2$  валентных колебаний воды. Полоса около 2150 нм (~4650 см<sup>-1</sup>) отвечает, скорее всего, обертонау валентного колебания  $3\nu_2$  [1-3].

### Заключение

Были исследованы спектры отражения аммонийных и кислых сульфатов, распространенных в обстановках фумарольной деятельности и на термальных полях. Соли были получены синтетическим путем. На спектрах отражения обнаруживаются полосы поглощения, характерные для аммония: 1500-1600, около 1100 и 1300 нм, причем точное положение этих полос для каждой соли индивидуально, что дает возможность идентифицировать аммонийные минералы с применением переносных спектрорадиометров высокого разрешения. Для кислых солей обнаруживается поглощение от обертона валентного колебания гидросульфата  $2\nu(\text{S}-\text{OH})$  в пределах 2000-2100 нм. Это дает возможность идентифицировать кислые сульфаты, часто встречающиеся в обстановках фумарольной активности. Молекулы воды, координированные в решетке, дают полосы обертонов валентных колебаний. Так как для каждого минерала характерна своя спектральная картина, то минералы и их смеси можно первично классифицировать уже при проведении полевых работ с помощью переносного спектрорадиометра.

Работа выполнена при поддержке гранта РФФИ № 20-35-70008.

### Список литературы

1. Калякин А.В., Кривенцова Г.А. Состояние воды в органических и неорганических соединениях (По инфракрасным спектрам поглощения). М.: Наука, 1973. 176 с.
2. Юхневич Г.В. Инфракрасная спектроскопия воды. М.: Наука, 1973. 208 с.
3. Vettegren V.I., Ponomarev A.V., Arora K. et al. Using Infrared Spectroscopy to Study the Mineral Composition of Shear Fracture Surfaces in Rocks // Seismic Instruments. 2019. V. 55. № 4. P. 427-435.